

بررسی رفتار سیلان فولاد میکروآلیاژی Nb-V-Ti در آزمون فشار داغ*

(یادداشت پژوهشی)

محسن نصیریان^(۱)بهمن میرزاخانی^(۲)مصطفی متصوری نژاد^(۳)**چکیده**

رفتار سیلان فولاد به تحولات ریزساختاری در آن حین تغییر شکل داغ که به طور پیوسته تغییر می‌کند، بستگی زیادی دارد. در حین تغییر شکل داغ، دو پدیده‌ی مهم متالورژیکی، بازیابی و تبلور مجدد، در کنار متغیرهای ترکیب شیمیایی و عوامل ترمومکانیکی شامل کرنش، نرخ کرنش و دما، تنش سیلان فولاد را تحت تأثیر خود قرار می‌دهند. افزون بر این، ریزساختار و خواص نهایی فولاد به میزان زیادی به وقوع این دو پدیده‌ی متالورژیکی وابسته‌اند. هدف از انجام این تحقیق، بررسی رفتار نرم شدن یک فولاد ریزآلیاژی Nb-V-Ti و رفتار سیلان داغ آن در آزمون فشار داغ می‌باشد. برای این منظور، تأثیر متغیرهای فرایند بر تنش سیلان و موقعیت تبلور مجدد دینامیکی در آزمون فشار داغ مورد بررسی و مطالعه قرار گرفت و مدل‌های موجود برای بیان تنش سیلان داغ ارائه شدند.

واژه‌های کلیدی تنش سیلان، تبلور مجدد دینامیکی، فولاد ریزآلیاژی

A Study of the Flow Behaviour of a Nb-V-Ti Microalloyed Steel during Hot Compression Test

M. Nasirian

B. Mirzakhani

M. Mansourinejad

Abstract

The flow stress of steel depends significantly on microstructural changes taken place during hot deformation processes. In hot deformation processes, the flow stress of steel is influenced by two main metallurgical phenomena, i.e. recovery and recrystallization, along with its chemical composition and thermo-mechanical parameters. The final mechanical properties of steel are also determined by microstructural evolution during hot deformation process. In this paper, dynamic softening and flow behaviour of a Nb-V-Ti microalloyed steel during hot deformation process was investigated. The effects of temperature, strain and strain rate on hot flow stress of this steel and onset of dynamic recrystallization were studied during hot compressive loading. In addition, the semi-empirical models of dynamic recovery and recrystallization were developed for the investigated steel.

Keywords Flow stress, Dynamic recrystallization, Microalloyed steel

* نسخه‌ی نخست مقاله در تاریخ ۹۱/۵/۳۱ و نسخه‌ی پایانی آن در تاریخ ۹۲/۹/۲۵ به دفتر نشریه رسیده است.

(۱) کارشناس، پاشگاه پژوهشگران جوان، دانشگاه آزاد اسلامی واحد دزفول.

(۲) نویسنده مسئول، استادیار، دانشگاه اراک، دانشکده فنی و مهندسی، گروه مهندسی مواد و متالورژی.

(۳) مریمی، گروه مهندسی مواد و متالورژی، دانشکده فنی و مهندسی، دانشگاه آزاد اسلامی واحد دزفول.

کترل بافت فولاد خواهد شد.

امروزه برای اغلب مواد با استفاده از روش‌های تغییر شکل مانند کشش، فشار و پیچش داغ، تنش سیلان برای دامنه‌ی گسترده‌ای از کرنش‌های اعمالی، نرخ‌های کرنش و دمایا به دست می‌آید. استفاده از این روش‌های تغییر شکل در کنار مدل‌سازی، راه نسبتاً ارزانی برای تحلیل رفتار سیلان فلز در فرایند شکل‌دهی در سالهای اخیر بوده‌اند [12-3]. لی و همکاران، [9]، یک مدل تحلیلی را برای محاسبه‌ی کرنش مؤثر میانگین در مراحل مختلف نورد مقاطع به صورت هم‌دما و غیر هم‌دما ارائه کردند. آن‌ها هم‌چنین، تأثیر کرنش باقی‌مانده در سیستمک نرم شدن و تبلور مجدد جزئی را در مراحل مختلف در نظر گرفته‌اند. کاگلر، [10]، از روش ریاضی برای بررسی تنش سیلان و تبلور مجدد دینامیکی و تغییر اندازه‌ی دانه‌ی آستینیت حین تغییر شکل داغ فولاد استفاده کرده است. پنديت و همکاران، [11]، به کمک آزمون رهایی تنش و میکروسکوپ الکترونی عبوری، پدیده‌های نرم شدن استاتیکی و رسوب‌گذاری در اثر القای کرنش را در دو نوع فولاد ریزآلیاژی Nb-V و Ti-V بررسی کرده‌اند. زنگ و همکاران، [12]، برای پیش‌بینی رفتار تبلور مجدد آستینیت در نورد چند مرحله‌ای تسمیه‌ی فولادی، از مدل‌های پایه فیزیکی استفاده کردند. در این مقاله، با استفاده از آزمون فشار داغ تأثیر تحولات ریزساختاری حین تغییر شکل داغ بر تنش سیلان یک فولاد ریزآلیاژی Nb-V-Ti مطالعه شده است. افزون بر این، مدل‌های ریزساختاری برای تقریب تنش سیلان داغ برای این فولاد ارائه خواهد شد.

مواد و روش آزمایش

در تحقیق حاضر، فولاد ریزآلیاژی Ti-Nb-V-Ti برای مطالعه و بررسی انتخاب شد. ترکیب شیمیایی این فولاد در جدول (۱) آورده شده است. این فولاد مطابق با استاندارد API (American Petroleum Institute)،

مقدمه

فرایند ترمومکانیکی به طور وسیعی در سراسر جهان برای تولید فولادهای ریزآلیاژی (microalloyed) به کار می‌رود. با کترول شرایط تغییر شکل داغ و سرد کردن پس از آن در این فرایند، ریزساختار و خواص مورد نظر به دست می‌آیند. هدف اصلی از انجام عملیات ترمومکانیکی روی فولادهای ریزآلیاژی، اصلاح ساختار دانه به منظور رسیدن به ترکیب بهینه‌ای از استحکام و چقرمگی می‌باشد [1].

در فرایندهای تغییر شکل داغ، به علت تغییر تنش سیلان ماده در نتیجه‌ی وقوع تحولات ریزساختاری، رفتار تغییر شکل از پدیده‌های متالورژیکی تأثیر می‌پذیرد. در فرایند تولید فولادهای ریزآلیاژی، فولاد پس از پیش‌گرمایش تحت تغییر شکل مومسان قرار می‌گیرد. تغییر شکل مومسان نقش مهمی در تغییر و اصلاح ریزساختار فولاد دارد. تغییر شکل معمولاً در فاز آستینیت انجام می‌شود و سبب کارسخت شدن فولاد در نتیجه‌ی افزایش عیوب‌های بلوری از جمله نابجایی‌ها، می‌شود. با این سازوکار، انرژی درونی ماده افزایش می‌یابد. هم‌زمان با کارسخت شدن فولاد حین تغییر شکل مومسان در دماهای بالا، فرایندهای نرم شدن (softening) که شامل بازیابی و تبلور مجدد است، فعال می‌شوند و موجب کاهش انرژی درونی آستینیت می‌شوند. اگر بازیابی و تبلور مجدد حین تغییر شکل انجام شوند، به آن‌ها بازیابی و تبلور مجدد دینامیکی و در صورتی که پس از پایان تغییر شکل انجام شوند، به آن‌ها بازیابی و تبلور مجدد استاتیکی گفته می‌شود [2]. رقابت میان دو پدیده‌ی کارسختی و کارنرمی در نتیجه‌ی بازیابی و تبلور مجدد دینامیکی، میزان تنش سیلان ماده را حین تغییر شکل مومسان داغ تعیین می‌کند. فرایندهای نرم شدن دینامیکی از نقطه نظر صنعتی اهمیت زیادی دارند، زیرا تنش سیلان را کاهش می‌دهند و تغییر شکل را آسان می‌سازند. افزون بر این، کترول آن‌ها منجر به اصلاح مؤثر اندازه‌ی دانه‌ها و در نهایت، افزایش هم‌زمان استحکام و چقرمگی و

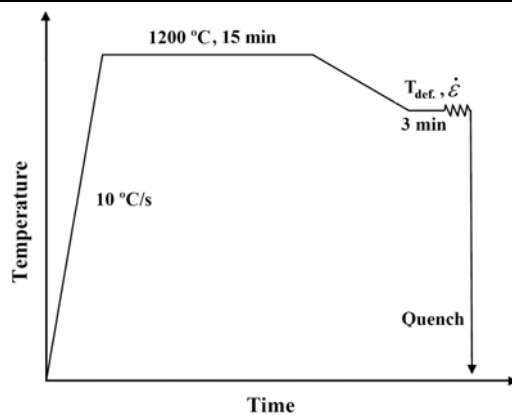
آزمون فشار داغ با استفاده از دستگاه شبیه‌ساز ترمومکانیکی 1500 Gleeble انجام شد. در این دستگاه، نمونه‌ها به روش مقاومتی فرکانس پایین داغ می‌شوند و کنترل دما به وسیله‌ی سیم ترموکوپل نوع K که به نمونه جوش داده می‌شود، انجام می‌گیرد. افزون بر این، با دمash گاز آرگون در طول انجام آزمایش از اکسایش نمونه‌ها جلوگیری شد.

در آزمون فشار داغ مطابق با شکل (۱)، ابتدا نمونه‌ها در دمای 1200°C به مدت زمان ۱۵ دقیقه پیش گرم شدند. پس از پیش گرم شدن، نمونه‌ها با سرعت 1°C/sec تا دمای تغییر شکل مورد نظر سرد شدند و در این دما برای یکنواختی دما، به مدت ۳ دقیقه نگه داشته شدند. سپس، تا میزان کرنش حقیقی 0.8% با سرعت‌های مختلف فشرده شدند و در نهایت، با پاشش سریع آب تا دمای محیط سریع سرد شدند. نمونه‌ها در دمای 900°C , 950°C , 1000°C , 1050°C , 1100°C و 1150°C و با میانگین نرخ‌های کرنش 3s^{-1} , 0.001s^{-1} , 0.01s^{-1} و 0.1s^{-1} تغییر شکل داده شدند. در پایان، نمودارهای تنش-کرنش در شرایط مختلف ترسیم و ارزیابی شدند.

فولاد ریزآلیاژی کلاس X70 می‌باشد که در ساخت لوله‌های قطرهای نفت و گاز به کار می‌رود. مطالعه‌ی نرم شدن فاز آستینیت در فولاد حین انجام عملیات ترمومکانیکی و تأثیر عناصر ریزآلیاژی بر این پدیده، در طراحی فرایندهای نورد و آهنگری کنترل شده برای فولادهای ریزآلیاژی نقش مهمی دارد. امروزه در مراکز تحقیقاتی جهان، از آزمون‌های پیچش و فشار داغ به عنوان فرایندهای مشابه نورد و آهنگری کنترل شده برای بررسی متغیرهای مختلف عملیات ترمومکانیکی بهره گرفته می‌شود. در پژوهش حاضر، پدیده‌های نرم شدن دینامیکی فولاد و تأثیر آن‌ها بر تنش سیلان با استفاده از آزمون فشار داغ بررسی شده‌اند. برای این منظور، نمونه‌های استوانه‌ای شکل به قطر 10 و ارتفاع 12 میلی‌متر از صفحه‌ی فولادی و در جهت نورد تهیه شدند. در منابع مرتبط، نسبت ارتفاع به قطر نمونه‌های فشار بین $1/2$ تا $1/5$ گزارش شده است [13]. این نسبت در تحقیق حاضر برابر با $1/2$ در نظر گرفته شد. کوچک بودن اندازه‌ی نمونه‌ها سبب می‌شود تا شبیب دمایی ناچیزی در نمونه‌ها ایجاد شود. خمیری از نیکل و گرافیت به عنوان روان‌کار برای جلوگیری از بشکه‌ای شدن نمونه‌ها به کار برده شد.

جدول ۱ ترکیب شیمیایی فولاد مورد استفاده در تحقیق حاضر بر حسب درصد وزنی (wt.%)

| C | Si | Mn | S | P | Nb | V | Ti | Al | N | Fe |
|------|------|------|-------|-------|------|------|------|------|-------|------|
| ۰/۰۹ | ۰/۳۲ | ۱/۶۳ | ۰/۰۰۳ | ۰/۰۰۹ | ۰/۰۴ | ۰/۰۵ | ۰/۰۱ | ۰/۰۳ | ۰/۰۰۲ | بقیه |



شکل ۱ فرایند ترمومکانیکی انجام شده در آزمون فشار داغ.

کارسختی را نشان می‌دهند. از نقطه نظر ریزساختاری، نمودار سیلان داغ با وقوع تبلور مجدد دینامیکی را می‌توان به سه مرحله یا ناحیه‌ی متواالی تقسیم‌بندی کرد. در مرحله‌ی اول و یا در کرنش‌های نسبتاً کم، کارسختی و بازیابی دینامیکی رخ می‌دهند. مشخصه‌ی این مرحله افزایش چگالی نابجایی‌ها، کشیده شدن دانه‌ها، تشکیل ساختار دانه‌بندی پهن شده (pancake) و دانه‌های فرعی درون دانه‌های تغییر شکل یافته می‌باشد. در کرنش‌های زیاد، نمودار تنش - کرنش روندی پایدار به خود می‌گیرد و ریزساختار نهایی به شکل دانه‌های هم محور تبدیل می‌شود. در این ناحیه، بین کارسختی دانه‌های تبلور مجدد یافته و رشد دانه‌های جدید عاری از کرنش، توازن وجود دارد. بین این دو ناحیه، یک ناحیه‌ی میانی و گذار وجود دارد که با کاهش تنش همراه است و بیان‌گر وقوع فرایند تبلور مجدد دینامیکی می‌باشد [2].

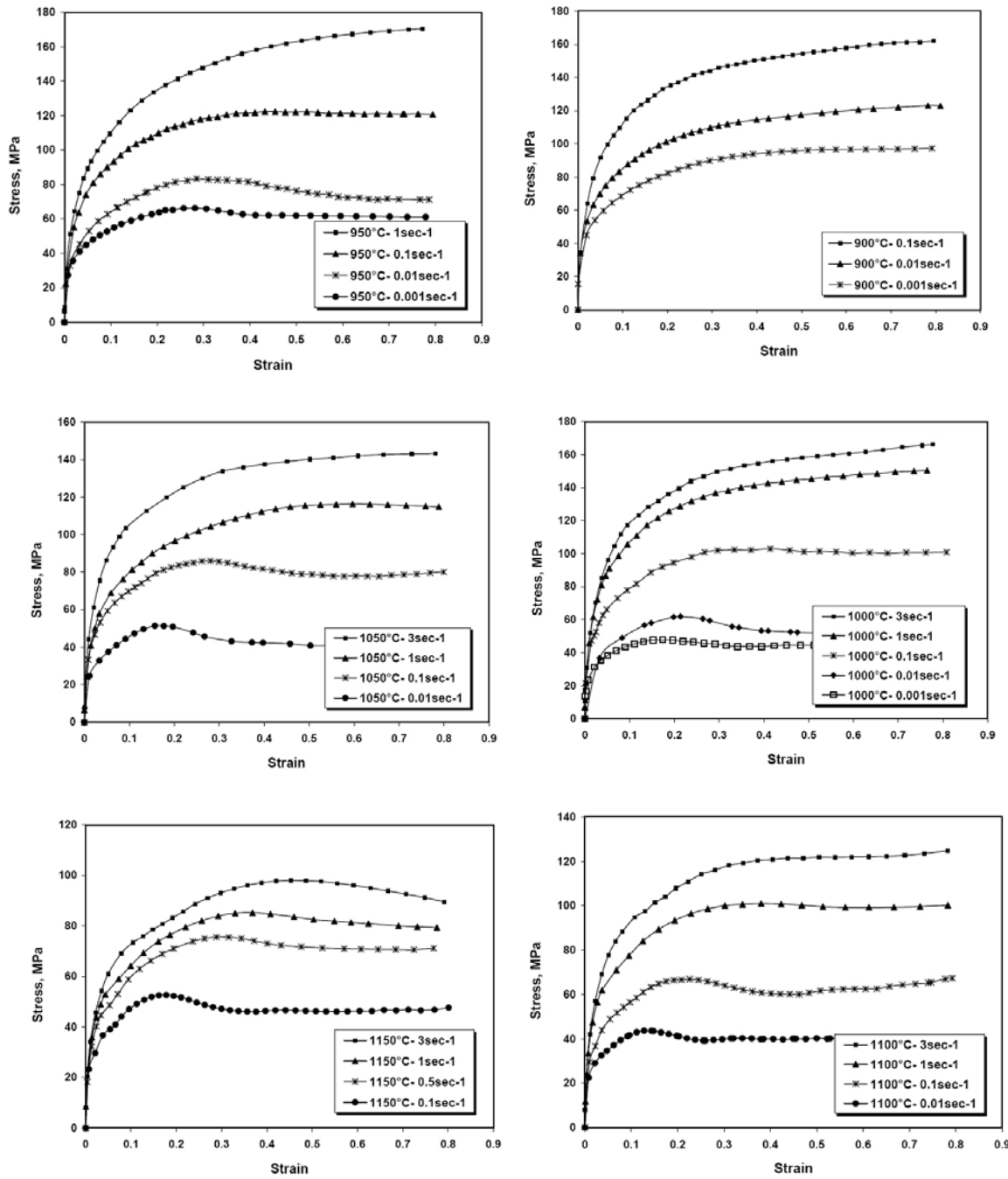
همان‌گونه که در شکل (۲) مشاهده می‌شود، تنش سیلان در یک دما و کرنش معین با افزایش سرعت تغییر شکل بالا می‌رود. بر خلاف تأثیر دما، نرخ‌های کرنش بالا سبب می‌شود تا فرایند تبلور مجدد دینامیکی در کرنش‌های بیشتری به وقوع بپیوندد. تأثیر نرخ کرنش بر تنش سیلان به افزایش نرخ کارسختی ماده در تغییر شکل‌های سریع و نیز، کاهش زمان برای وقوع تبلور مجدد مربوط می‌شود. در نمودارهای شکل (۳)، تأثیر دما بر تغییر شکل بر رفتار سیلان ماده قابل بررسی است. همان‌طور که انتظار می‌رود، تنش سیلان در یک کرنش و نرخ کرنش مشخص، با افزایش دما کاهش می‌یابد. افزون بر این، کاهش دما پدیده‌ی تبلور مجدد دینامیکی را به تأخیر می‌اندازد و ملاحظه می‌شود که با کاهش دما، قله‌ی نمودار در کرنش‌های بیشتری ظاهر می‌شود. تأثیر دما بر تنش سیلان با این واقعیت که دو سازوکار ترمیم، یعنی بازیابی و تبلور مجدد دینامیکی، که هر دو پدیده‌های متأثر از دما هستند، قابل تفسیر است. با افزایش دما، نرخ تشکیل دانه‌های فرعی در نتیجه‌ی بازچینی نابجایی‌ها (بازیابی)

نتایج و بحث

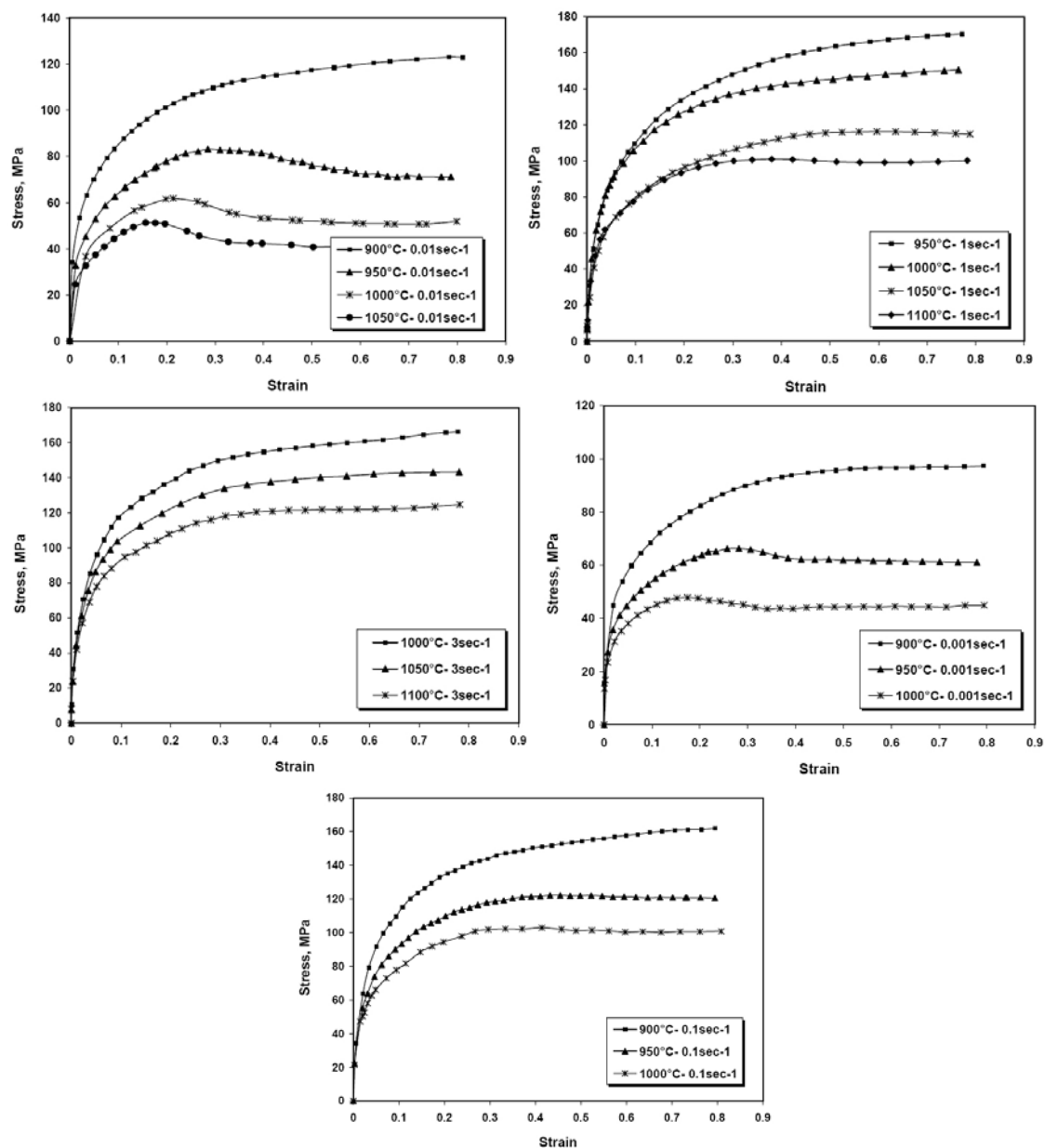
مراحل ابتدایی عملیات ترمومکانیکی و تغییر شکل شمشهای فولادی مانند نورد، معمولاً در حالت داغ انجام می‌شود، زیرا نیروی مورد نیاز برای انجام مراحل اولیه‌ی تغییر شکل مومسان شمشهای زیاد است. در این شرایط، تنش سیلان ماده و نیروی مورد نیاز برای انجام نورد به میزان تغییر شکل، سرعت تغییر شکل، دما و تحولات ریزساختاری بستگی دارد. نمودارهای تنش - کرنش حقیقی حاصل از آزمون فشار داغ در شکل‌های (۲) و (۳) به ترتیب برای بررسی تأثیر دما و نرخ کرنش بر رفتار سیلان فولاد مورد آزمایش آورده شده‌اند. این نتایج مربوط به نمونه‌هایی هستند که بعد از بیش‌گرم شدن در دمای 1200°C به مدت زمان ۱۵ دقیقه، مطابق با نمودار گرمایش شکل (۱)، تغییر شکل یافته‌اند. لازم به ذکر است که برای این دما و زمان پیش‌گرم شدن، میانگین اندازه‌ی دانه‌ی آستانیت اولیه برابر با 102 میکرومتر بود. تصویر متالوگرافی از مرز دانه‌های آستانیت در شکل (۴) نشان داده شده است. اندازه‌ی دانه‌ی آستانیت اولیه در نمونه‌ها به روش تقاطع خطی میانگین (Mean Linear Intersection) تعیین شد. همان‌طور که در نمودارهای شکل‌های (۲) و (۳) دیده می‌شود، تنش سیلان با افزایش کرنش به علت کار سختی، ابتدا افزایش می‌یابد و به نقطه‌ی بیشینه‌ی خود می‌رسد. پس از آن، به دلیل شروع تبلور مجدد دینامیکی و نرم شدن فولاد، تنش سیلان کاهش می‌یابد. افت تنش و ظاهر شدن قله در نمودار تنش - کرنش، نشان‌دهنده‌ی وقوع تبلور مجدد دینامیکی است [۷, ۸] [۱۴, ۱۵]. در اغلب نمودارهای شکل‌های (۲) و (۳)، تبلور مجدد تکمیل شده است و تنش به حالت پایدار خود رسیده است. در نمودارهای مربوط به نمونه‌های تغییر شکل یافته در دمای 900°C به ازای نرخ‌های کرنش مختلف، دمای 950°C در نرخ کرنش 1 s^{-1} ، دمای 1000°C در نرخ‌های کرنش 1 s^{-1} و 3 s^{-1} ، و دمای 1050°C به ازای نرخ کرنش 3 s^{-1} ، نقطه‌ی بیشینه‌ی تنش مشاهده نمی‌شود و نمودارهای سیلان

غالب باشد. یکی از رابطه‌های کلاسیک برای تحریج رفتار سیلان ماده در شرایط تغییر شکل داغ و خوش، رابطه‌ای از نوع سینوس هیپربولیک است [16,17].

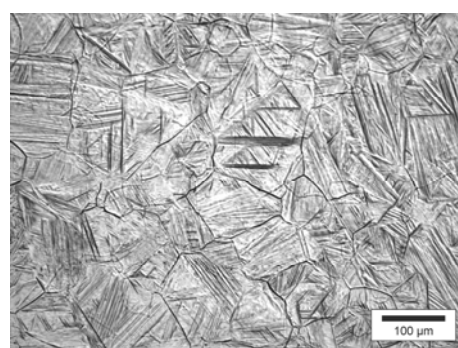
و نیز، نرخ جوانه‌زنی و رشد دانه‌های عاری از کرنش (تبلور مجدد)، تحریج می‌شود، زیرا افزایش دما منجر به نفوذ سریع‌تر و تحرک بیش‌تر مرزهای دانه می‌شود. بنابراین، به‌نظر می‌رسد که در دمای بالا پدیده‌ی نرم شدن و در دمای پایین، پدیده‌ی کارسختی سازوکار



شکل ۲ نمودارهای سیلان به‌دست آمده از آزمون فشار داغ در دمای ثابت و نرخ‌های کرنش مختلف.



شکل ۳ نمودارهای سیلان به دست آمده از آزمون فشار داغ در نرخ کرنش ثابت و دماهای مختلف.



شکل ۴ تصویر میکروسکوپ نوری از ساختار آستینیت اولیه قبل از شروع آزمون فشار داغ.

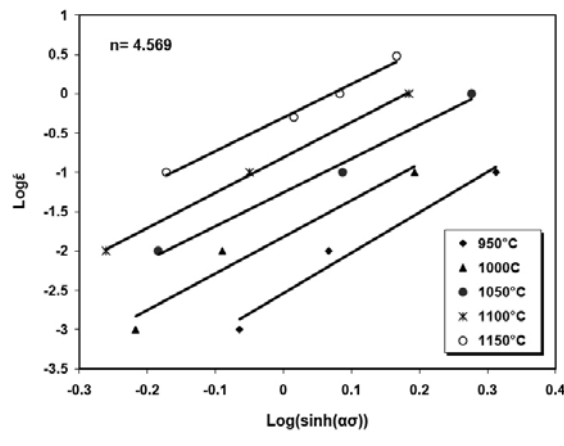
۴/۵۶۹ و ۳/۲۱۱ به دست آمد. افرون بر این، مقدار α که بهترین انطباق داده‌های آزمون و رابطه‌ی (۱) را می‌دهد، به ترتیب برای تنش قله و تنش پایا برابر با 14 MPa^{-1} و 20 MPa^{-1} به دست آمد. این مقادیر در محدوده‌ی مقادیر گزارش شده در مراجع برای فولادهای ریزآلیاژی است [۳ و ۴ و ۱۸ و ۱۹]. هم‌چنین، شب خطر حاصل از رسم تغییرات $\log(\sinh \alpha \sigma)$ بر حسب $T/1$ ، مقدار عددی انرژی فعال‌سازی را نشان می‌دهد. این نمودارها در شکل (۶) برای تنش‌های قله و پایا ارائه شده‌اند. به این ترتیب، مقادیر میانگین انرژی فعال‌سازی تغییرشکل برای تنش‌های قله و پایا به ترتیب برابر با 360 kJ/mol و 351 kJ/mol به دست آمدند.

این رابطه در محدوده‌ی وسیعی از دما و نرخ کرنش قابل استفاده است. افرون بر این، برای بیان تنش حالت پایدار در تبلور مجدد دینامیکی (σ_{ss}) و تنش قله (σ_p) نیز استفاده می‌شود:

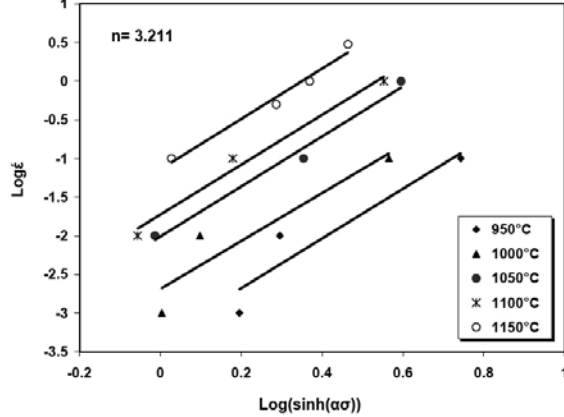
$$\dot{\epsilon} = A (\sinh \alpha \sigma)^n \exp\left(-\frac{Q}{RT}\right) \quad (1)$$

$$\log \dot{\epsilon} = \log A + n \log(\sinh \alpha \sigma) - \frac{Q}{2.3RT}$$

در رابطه‌ی (۱)، A ، n و α مقادیر ثابت مستقل از دما و تنش هستند و Q انرژی فعال‌سازی تغییر شکل داغ می‌باشد. مقدار عددی این ثابت‌ها به نوع ماده بستگی دارد. به کمک رابطه‌ی (۱) و ترسیم نمودار تغییرات لگاریتم نرخ کرنش با $\log(\sinh \alpha \sigma)$ در چند دمای ثابت (مطابق با شکل (۵)، مقدار میانگین ثابت n به ترتیب برای تنش قله و تنش پایا برابر با

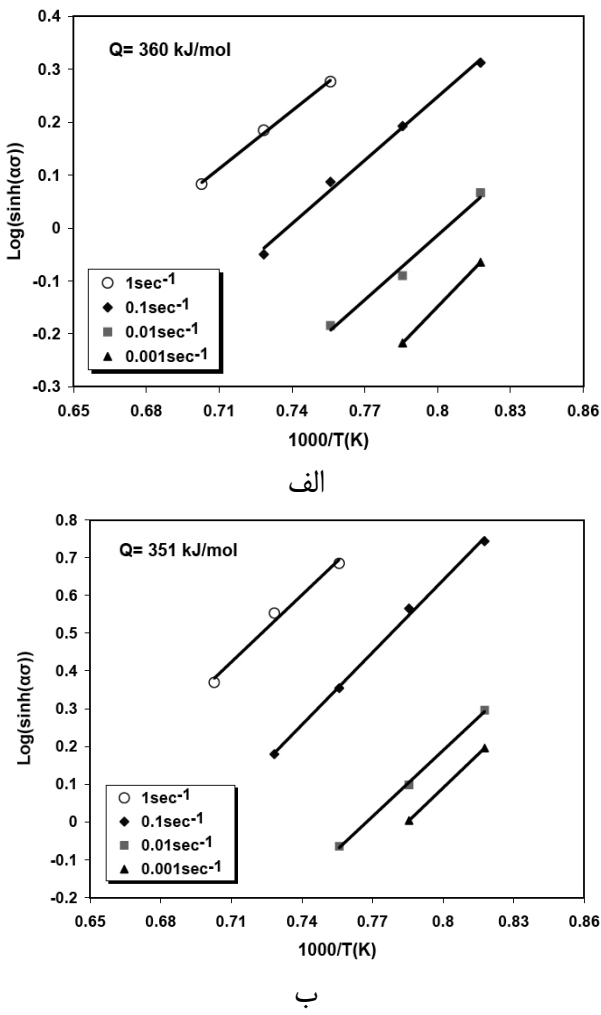


الف



ب

شکل ۵ تغییرات $\log \dot{\epsilon}$ با $\log(\sinh \alpha \sigma)$ برای تنش قله (الف) و تنش پایا (ب) در دمای‌های ثابت مختلف.



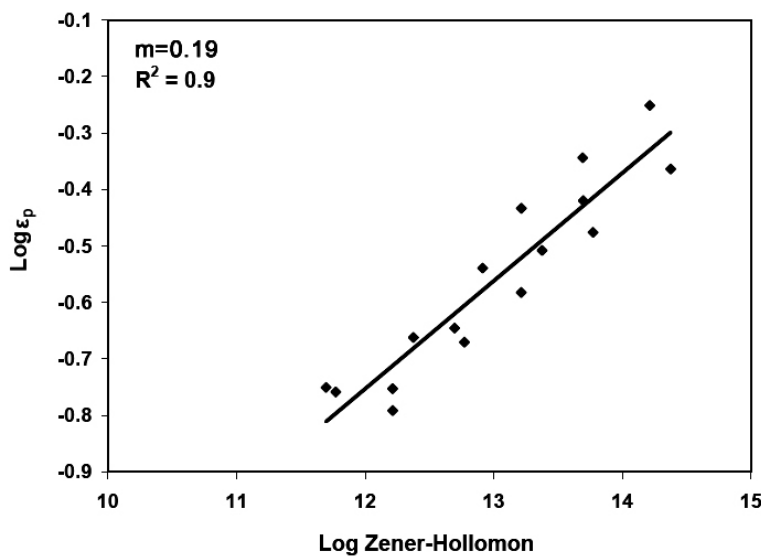
شکل ۶ تغییرات $\log(\sinh \alpha\sigma)$ با عکس دما (بر حسب دمای مطلق) برای تنش قله (الف) و تنش پایا (ب) در نرخ‌های کرنش ثابت.

نرخ کرنش، Q انرژی فعال‌سازی تغییر شکل، T دمای تغییر شکل (بر حسب دمای مطلق) و R ثابت جهانی گازها هستند. ارتباط کرنش قله در نمودارهای سیلان مربوط به آزمون‌های تغییر شکل داغ با عامل زنر- هولومان، در شکل (۷) نشان داده شده است. با استفاده از رابطه (۲) و مقادیر کرنش قله در شرایط مختلف تغییر شکل داغ، مقادیر m و k به ترتیب برابر با $9/0 \times 10^{-4}$ و $0/19$ به دست آمدند. بنابراین، رابطه (۲) به شکل رابطه (۳) بازنویسی می‌شود. Q در این رابطه، انرژی فعال‌سازی به دست آمده در بخش قبلی مربوط به قله نمودارهای تنش- کرنش در شکل‌های (۲) و (۳) می‌باشد.

برای وقوع تبلور مجدد دینامیکی لازم است تا چگالی نابجایی‌ها و میزان تغییر شکل موسمان در ماده به حد بحرانی برسند. به طور تجربی معلوم شده است که کرنش قله در نمودار تنش- کرنش با توجه به رابطه (۲)، به شرایط تغییر شکل داغ بستگی دارد [۲, ۲۰, ۲۱]:

$$\epsilon_p = kZ^m \quad (2)$$

که در این رابطه، Z عامل زنر- هولومان، و k و m مقادیر ثابتی هستند. هنگام وقوع عملیات شکل دهنده داغ، تغییرات ریزساختاری افزون بر میزان کرنش، به دمای تغییر شکل و نرخ کرنش نیز بستگی دارد. عامل زنر- هولومان، $Z = \exp(Q/RT)$ ، برای نمایش همزمان این دو متغیر تعریف شده است. در این رابطه،



شکل ۷ تغییرات کرنش قله مربوط به نمودارهای سیلان با عامل زنر- هولومان.

نمودارهای سیلان به دست آمده از آزمون‌های فشار داغ در شرایط مختلف تغییر شکل، معادله‌های بنیادین توصیف کننده‌ی تنش پایا در فرایند تبلور مجدد دینامیکی و تنش قله برای فولاد مورد بررسی به دست آمدند.

۳- رابطه‌ی تعیین کرنش لازم برای شروع فرایند تبلور مجدد دینامیکی در فولاد مورد مطالعه به دست آمد.

تشکر و قدردانی
نوسیندگان این مقاله، از باشگاه پژوهشگران جوان در دانشگاه آزاد اسلامی واحد ذوقول به دلیل حمایت مالی به منظور انجام این تحقیق، تشکر و قدردانی می‌کنند.

$$\epsilon_p = 9.04 \times 10^{-4} \left(\dot{\epsilon} \exp\left(\frac{36000}{RT}\right) \right)^{0.19} \quad (3)$$

نتیجه‌گیری

با بررسی رفتار سیلان داغ یک فولاد ریزآلیاژی Nb-V-Ti در شرایط مختلف تغییر شکل داغ، نتایج کلی زیر به دست آمدند:

۱- کاهش دمای تغییر شکل و افزایش نرخ کرنش، سبب افزایش کرنش بحرانی برای وقوع فرایند تبلور مجدد دینامیکی شد. در نمودارهای سیلان این فولاد در دمای ۹۰۰ °C و در تمامی نرخ‌های کرنش، دمای ۹۵۰ °C و نرخ کرنش ۱ s⁻¹، دمای ۱۰۰۰ °C و نرخ‌های کرنش ۱ s⁻¹ و ۳ s⁻¹ و دمای ۱۰۵۰ °C به‌ازای نرخ کرنش ۳ s⁻¹، کارسختی مشاهده شد و این نشان‌دهنده‌ی عدم وقوع فرایند تبلور مجدد دینامیکی بود.

۲- با استفاده از یک رابطه‌ی سینوس هیپربولیک و

مراجع

1. Ouchi C., "Development of Steel Plates by Intensive Use of TMCP and Direct Quenching Processes", ISIJ Int., 41, 542- 553, (2001).
2. Humphreys F.J. and Hatherly M., "Recrystallization and Related Annealing Phenomena", Second ed.,

- Elsevier, Oxford, (2004).
3. Samuel F.H., Yue S., Jonas J.J. and Zbinden B.A., "Modeling Testing of Flow Stress and Rolling Load of a Hot Strip Mill by Torsion", *ISIJ Int.*, 29, pp. 878-886, (1989).
 4. Carsí M., López V., Peñalba F. and Ruano O.A., "The Strain Rate as a Factor Influencing the Hot Forming Simulation of Medium Carbon Microalloyed Steels", *Mater. Sci. Eng.*, 216A, pp. 155-160, (1996).
 5. Kuc D., Niewielski G., and Cwajna J., "Influence of Deformation Parameters and Initial Grain Size on the Microstructure of Austenitic Steels after Hot-Working Processes", *Mater. Charact.*, 56, pp. 318-324, (2006).
 6. Abad R., Fernández A.I., López B., and Rodríguez J.M., "Interaction between Recrystallization and Precipitation during Multi-Pass Rolling in a Low Carbon Niobium Microalloyed Steel", *ISIJ Int.*, 41, pp. 1373-1382, (2001).
 7. Hodgson P.D., Collinson D.C. and Perrett B., "The use of Hot Torsion to Simulate the Thermomechanical Processing of Steel", Proceedings of the 7th International Symposium on Physical Simulation, Suzuki, A.G., Sakai, T. and Matsuda, F., (Eds.), Dynamic Systems Inc. & NRIM, Japan, 219-229, (1997).
 8. Mirzakhani B., Arabi H., Salehi M.T., Khoddam S., Seyedein S.H. and Aboutalebi M.R., "Investigation of Dynamic and Static Recrystallization Behavior During Thermomechanical Processing in API-X70 Microalloyed Steel", *J. Mater. Eng. Perform.*, 18, pp. 1029-1034, (2009).
 9. Lee Y., Cho S. and Hodgson P.D., "Analytical Model of Pass-by-Pass Strain in Rod (or Bar) Rolling and its Applications to Prediction of Austenite Grain Size", *Mater. Sci. Eng.*, 336A, pp. 177-189, (2002).
 10. Kugler G. and Turk R., "Modeling the Dynamic Recrystallization under Multi-Stage Hot Deformation", *Acta Mater.*, 52, pp. 4659-4668, (2004).
 11. Pandit A., Murugaiyan A., Podde, A.S., Haldar A., Bhattacharjee D., Chandra S., and Ray R.K., "Strain Induced Precipitation of Complex Carbonitrides in Nb-V and Ti-V Microalloyed Steels", *Scripta Mater.*, 53, pp. 1309-1314, (2005).
 12. Zheng C., Xiao N., Li D. and Li Y., "Microstructure Prediction of the austenite Recrystallization during Multi-Pass Steel Strip Hot Rolling: A Cellular automaton Modeling", *Comput. Mater. Sci.*, 44, pp. 507-514, (2008).
 13. Dieter G., Howard A., S. Kuhn and Semiatin L., "Handbook of Workability and Process Design", ASM, Materials Park, Ohio, (2003).
 14. Luton M.J. and Sellars C.M., "Dynamic Recrystallization in Nickel and Nickel-Iron Alloys during High-Temperature Deformation", *Acta Metall.*, 17, pp. 1033-1043, (1969).
 15. Honeycombe R.W.K. and Pethen R.W., "Dynamic Recrystallization", *J. Less-Common Metals*, 28,

- 201-212, (1972).
16. Roberts W.L., "Deformation, Processing, and Structure", ASM Materials Science Seminar, Krauss G. (Ed.), ASM, pp. 109-121, (1982).
 17. Sellars C.M., and Tegart W.J., "Hot Workability", Int. Metall. Rev., 17, pp. 1-23, (1972).
 18. Laasraoui A., and Jonas, J.J., "Prediction of Steel Flow Stresses at High Temperatures and Strain Rates", Metall. Trans. A, 22, pp. 1545-1558, (1991).
 19. Cho S-H., Kang K-B. and Jonas J.J., "The Dynamic, Static and Metadynamic Recrystallization of a Nb-microalloyed Steel", ISIJ Int., 41, pp. 63-69, (2001).
 20. Jonas J.J. and Sakai T., "Deformation, Processing, and Structure", Krauss, G. (Ed.), ASM Materials Science Seminar, ASM, Ohio, Missouri, USA, pp. 185-194, (1982).
 21. Sakai T. and Jonas J.J., "Overview no. 35 Dynamic Recrystallization: Mechanical and Microstructural Considerations", Acta Metall., 32, pp. 189-209, (1984).